

## The Effect of Aqueous Extract of *Quercus Infectoria* on Insulin Resistance and Free Fatty Acids in Insulin-Resistant Rats Induced by a High-Fructose Diet

Hossein Fallah<sup>1</sup>, Behnaz Danesh<sup>2</sup>, Beydolah Shahouzehi<sup>3</sup>, Gholamabbas Mohammadi<sup>4</sup>

1. Assistant Professor, Department of Clinical Biochemistry, Afzalipour School of Medicine, Kerman University of Medical Sciences, Kerman, Iran. ORCID ID: 0000-0001-6196-0775

2. Internal Medicine Resident, Department of Internal Medicine, Afzalipour School of Medicine, Kerman University of Medical Sciences, Kerman, Iran. ORCID ID: 0000-0002-3131-0234

3. Assistant Professor, Physiology Research Center, Kerman University of Medical Sciences, Kerman, Iran. ORCID ID: 0000-0002-8758-6686

4. Professor, Department of Clinical Biochemistry, Afzalipour School of Medicine, Kerman University of Medical Sciences, Kerman, Iran., (Corresponding Author), Tel: 034-33257448, Email: moghabbas@yahoo.com, ORCID ID: 0000-0002-2621-0810

### ABSTRACT

**Background and Aim:** Insulin resistance is a pathological condition in which cells fail to respond normally to the insulin. The most important cause of insulin resistance is abdominal obesity. Increased abdominal fat increases the amount of free fatty acids and decreases adiponectin, which directly affects insulin signaling. Due to the role of *Quercus infectoria* in lowering blood sugar, we investigated the mechanism of action, and the effect of its aqueous extract on insulin resistance in insulin-resistant Rats.

**Materials and Methods:** The animals were fed fructose-rich or normal food for six weeks. At the end of six weeks, the animals were divided into 4 groups including: receiving plant extracts, pioglitazone, control, and normal food, and then treated for 2 weeks. At the end of the treatment period serum Glucose, triglyceride, and cholesterol levels were measured by autoanalyzer; Insulin, and adiponectin levels were measured by ELISA; plasma free fatty acids were measured by gas chromatography, and HOMA-IR (Homeostatic Model Assessment for Insulin Resistance) index was calculated by the formula. A one-way ANOVA test was used for statistical analysis.

**Results:** In the *Quercus infectoria* group, the concentrations of glucose (129.3±6.8 mg/dl), triglyceride (79.8±5.1mg/dl), insulin (31.2±6.32pmol/L) and HOMA-IR (1.6±0.32) significantly decreased compared to the control group with glucose (187.5± 15.9 mg/dl), Triglyceride (217.6±18.5 mg/dl), Insulin (137.6±34.2 pmol/L) and HOMA-IR (9.7±2.13) decreased. The concentration of total free fatty acids and adiponectin did not change.

**Conclusion:** This study showed the beneficial effects of aqueous extracts of *Quercus infectoria* on reducing insulin resistance in insulin-resistant rats.

**Keywords:** Insulin resistance, Free fatty acids, Pioglitazone, *Quercus infectoria*

**Received:** Oct 30, 2020

**Accepted:** Nov 21, 2020

**How to cite the article:** Hossein Fallah, Behnaz Danesh, Beydolah Shahouzehi, Ghilamabbas Mohammadi. The Effect of Aqueous Extract of *Quercus Infectoria* on Insulin Resistance and Free Fatty Acids in Insulin-Resistant Rats Induced by a High-Fructose Diet. SJKU. 2021;26(1):72-85.

Copyright © 2018 the Author (s). Published by Kurdistan University of Medical Sciences. This is an open access article distributed under the terms of the Creative Commons Attribution-Non Commercial License 4.0 (CCBYNC), where it is permissible to download, share, remix, transform, and buildup the work provided it is properly cited. The work cannot be used commercially without permission from the journal

## بررسی اثر عصاره آبی مازو (*Quercus Infectoria*) بر مقاومت انسولینی و اسیدهای چرب آزاد در مدل مقاوم به انسولین موش‌های صحرایی، القاء شده با رژیم غذایی پُرفرکتوز

حسین فلاح<sup>۱</sup>، بهناز دانش<sup>۲</sup>، بیدالله شاه‌زهی<sup>۳</sup>، غلامعباس محمدی<sup>۴</sup>

۱. استادیار، گروه بیوشیمی بالینی، دانشکده پزشکی افضلی‌پور، دانشگاه علوم پزشکی کرمان، کرمان، ایران. کد ارکید: ۰۰۰۰-۰۰۰۱-۶۱۹۶-۰۷۷۵

۲. دستیار داخلی، گروه داخلی، دانشکده پزشکی افضلی‌پور، دانشگاه علوم پزشکی کرمان، کرمان، ایران. کد ارکید: ۰۰۰۰-۰۰۰۲-۳۱۳۱-۰۲۳۴

۳. استادیار، مرکز تحقیقات فیزیولوژی، دانشگاه علوم پزشکی کرمان، کرمان، ایران. کد ارکید: ۰۰۰۰-۰۰۰۲-۸۷۵۸-۶۶۸۶

۴. استاد، گروه بیوشیمی بالینی، دانشکده پزشکی افضلی‌پور، دانشگاه علوم پزشکی کرمان، کرمان، ایران (نویسنده مسئول)، تلفن: ۰۳۴۳۳۲۵۷۴۴۸، پست

الکترونیک: moghabbas@yahoo.com، کد ارکید: ۰۰۰۰-۰۰۰۲-۲۶۲۱-۰۸۱۰

### چکیده

**زمینه و هدف:** مقاومت انسولینی حالتی است که در آن غلظت‌های نرمال انسولین عملکرد مورد انتظار را ندارد. مهمترین عامل ایجاد مقاومت انسولینی چاقی شکمی است که باعث افزایش مقدار اسیدهای چرب آزاد و کاهش آدیپونکتین می‌شود و مستقیماً سیگنالینگ انسولین را مختل می‌کند. با توجه به نقش مازو در کاهش قند خون، در این مطالعه اثر عصاره آبی آن بر فاکتورهای مقاومت انسولینی برای تعیین مکانیسم اثر آن بررسی شد.

**مواد و روش‌ها:** موش‌های صحرایی به مدت شش هفته با غذای پُرفرکتوز یا غذای نرمال تغذیه شدند. سپس حیوانات به گروه‌های دریافت‌کننده مازو، پیوگلیتازون، کنترل و غذای نرمال تقسیم و به مدت ۲ هفته تیمار شدند. در پایان دوره تیمار سطح گلوکز، تری‌گلیسرید و کلسترول سرمی با دستگاه اتوآنالایزر، انسولین و آدیپونکتین به روش الایزا، اسیدهای چرب آزاد پلاسمایی با گاز کروماتوگرافی اندازه‌گیری شد و شاخص HOMA (ارزیابی مدل همواستاتیک برای مقاومت به انسولین) با فرمول محاسبه گردید. نتایج با آزمون ANOVA یک‌طرفه آنالیز شد.

**یافته‌ها:** در گروه مازو غلظت گلوکز ( $129.3 \pm 6.8$  mg/dl)، تری‌گلیسرید ( $79.8 \pm 5.1$  mg/dl)، انسولین ( $31.2 \pm 6.3$  pmol/L) و HOMA-IR ( $1.6 \pm 0.32$ ) به‌طور معنی‌داری نسبت به گروه کنترل با گلوکز ( $187.5 \pm 15.9$  mg/dl) و تری‌گلیسرید خون ( $217.6 \pm 18.5$  mg/dl)، انسولین ( $137.6 \pm 34.2$  pmol/L) و HOMA-IR ( $9.7 \pm 2.13$ ) کاهش یافت. غلظت توتال اسیدهای چرب آزاد و آدیپونکتین تغییری نشان نداد.

**نتیجه‌گیری:** نتایج این مطالعه بیانگر تاثیر عصاره آبی مازو بر کاهش مقاومت انسولینی در رت‌های مقاوم به انسولین می‌باشد.

**واژه‌های کلیدی:** مقاومت انسولینی، اسیدهای چرب آزاد، پیوگلیتازون، مازو

وصول مقاله: ۹۹/۸/۹ اصلاحیه نهایی: ۹۹/۸/۱۸ پذیرش: ۹۹/۹/۱

**مقدمه**

آزاد منجر به افزایش حساسیت به انسولین می‌گردد. به نظر می‌رسد که یکی از مکانیسم‌های اثر تiazولیدین دیون‌ها در افزایش حساسیت به انسولین، کاهش غلظت اسیدهای چرب آزاد باشد (۴-۶).

انواع مختلف اسیدهای چرب بر اساس درجه اشباع و طول زنجیره و از طریق اثر بر ریسپتورهای مختلف اسیدهای چرب، اثرات متفاوتی را بر عملکرد انسولین و سایر فعالیت‌های متابولیکی اعمال می‌کنند. به‌عنوان مثال مشخص شده است که اسیدهای چرب زنجیره متوسط و زنجیره بلند از طریق گیرنده اسید چرب ۱ و ۴ (Free Fatty Acid Receptor, FFAR1,4) در ایجاد مقاومت انسولینی مؤثر هستند، در حالی که اولئات و اسیدهای چرب زنجیره کوتاه مانع از اختلال در سیگنالینگ انسولین می‌شود (۵).

مازو با نام علمی *Quercus infectoria* متعلق به خانواده *Fagaceae* و گیاهی درختچه‌ای است که در آسیای صغیر، یونان، سوریه و ایران می‌روید. مازو دارای اثرات دارویی با ارزشی است که می‌توان به خواص منقبض‌کنندگی عضلانی، ضد تب، ضد دیابتی، بیهوش‌کنندگی، ضد باکتریایی و ضدالتهابی و آنتی‌اکسیدانی آن اشاره کرد (۷). مطالعات قبلی ما نشان داد که عصاره آبی مازو دارای اثر مهارکنندگی بر آنزیم آلفا گلوکوزیداز می‌باشد و قند خون را در موش‌های دیابتی و سالم نیز کاهش می‌دهد (۸، ۹). در مطالعه حاضر، اثرات این عصاره بر روی ترشح انسولین و فاکتورهای دخیل در عملکرد انسولین مانند غلظت آدیپونکتین و سطح اسیدهای چرب آزاد بررسی شد.

**مواد و روش‌ها**

این مطالعه یک مطالعه تجربی است که در آن از موش‌های نر نژاد ویستار استفاده شده است.

تهیه عصاره گیاهی:

گال‌های مازو برای تهیه عصاره آبی مورد استفاده قرار گرفت. گال‌های مازو از فروشگاه گیاهان دارویی معتبر در

مقاومت انسولینی با هیپرانسولینمی و هیپرگلیسمی مشخص می‌گردد که در این وضعیت سیگنالینگ انسولین مختل می‌شود. این شرایط با بروز بیماری‌هایی مانند دیابت نوع ۲ و بیماری‌های قلبی عروقی و کلیوی ارتباط دارد (۱). مهمترین فاکتور در ایجاد مقاومت انسولینی چاقی است، که معمولاً دارای دلایل پلی ژنتیکی و محیطی است. در سطح مولکولی نیز افزایش فسفریله شدن ریشه‌های سرین/ترئونین در سوبسترای ریسپتور انسولین (Insulin Receptor Substrate, IRS) به جای فسفریله شدن تیروزین‌های آنها دیده می‌شود که در نتیجه افزایش فاکتور نکروزی تومور آلفا (Tumor Necrosis Factor  $\alpha$ , TNF- $\alpha$ )، اینترلوکین ۶ (Interleukin 6, IL-6) و اسیدهای چرب آزاد پلاسمایی صورت می‌گیرد (۲).

آدیپوسیت‌ها و ماکروفاژهایی که به این بافت مهاجرت کرده‌اند، واسطه‌های بیولوژیکی فعالی ترشح می‌کنند که آدیپوسیتوکین نامیده می‌شوند و در ایجاد مقاومت به انسولین، دیابت نوع ۲ و آترواسکلروز نقش دارند. فراوان‌ترین این آدیپوکین‌ها آدیپونکتین است که منحصراً بوسیله آدیپوسیت‌های بالغ ترشح می‌شود. آدیپونکتین یک آدیپوسیتوکین ضد التهابی است که برخلاف بسیاری از آدیپوکین‌ها در چاقی کاهش می‌یابد و مقدار آن ارتباط معکوسی با مقاومت انسولینی دارد (۳).

معمولاً غلظت بالای اسیدهای چرب آزاد، در چاقی و مقاومت انسولینی دیده می‌شود که افزایش غلظت آنها در چاقی در پی عواملی مانند توسعه بافت چربی و افزایش توانایی آزادسازی اسیدهای چرب آزاد ایجاد می‌شود. این اسیدهای چرب آزاد که با نام اسیدهای چرب غیراستری نیز شناخته می‌شوند، به‌عنوان واسطه‌های ایمنی و التهابی از طریق گیرنده‌های اسیدهای چرب در عمل می‌کنند، بطوریکه افزایش حاد اسیدهای چرب آزاد باعث ایجاد مقاومت انسولینی و همچنین کاهش حاد اسیدهای چرب

شهر کرمان تهیه و پس از شناسایی و تأیید توسط گیاه شناس، به دقت شسته و سپس در دمای اتاق و در تاریکی خشک شدند. بافت‌های خشک شده گیاهان، آسیاب و سپس ۳۰۰g از پودر گیاه برای عصاره‌گیری استفاده شد. بدین ترتیب که ۳۰۰g پودر گیاه را در یک ارلن ریخته و ۱۰۰۰ml آب مقطر با دمای ۴۰ درجه سانتی‌گراد به آن اضافه شد. پس از یک ساعت هم زدن، به مدت ۴۸ ساعت در دمای اتاق و در تاریکی نگهداری شد. سپس محلول حاصل را از تفاله‌های گیاهی جدا کرده و پس از انتقال به پلیت‌های ۱۲۵ میلی‌لیتری، در دمای ۴۰ درجه سانتی‌گراد درون آون خشک شد. عصاره گیاهی خشک شده از پلیت‌ها جدا و تا زمان آزمایش در فریزر  $20^{\circ}\text{C}$  - نگهداری شد (۹).

تهیه غذای غنی از فروکتوز:

برای تهیه غذای غنی از فروکتوز، مطابق روش Shih و همکاران (۲۰۰۹)، فروکتوز با مخلوط کازئین، مولتی ویتامین، میکرو مینرال‌ها و متیونین با نسبت وزنی ۶۰ به ۴۰ مخلوط و با افزودن مقدار کمی آب مقطر به صورت خمیر در آمد. این خمیر به شکل پلت‌های استاندارد در آمده و سپس در مجاورت هوا خشک شد. غذا تا زمان مصرف در یخچال نگهداری شد (۱۰).

حیوانات آزمایشگاهی:

۳۲ سر موش صحرایی نر در محدوده وزنی ۲۵۰-۳۰۰ g از حیوانخانه دانشکده پزشکی دانشگاه علوم پزشکی کرمان خریداری شد. حیوانات به اتاقی جداگانه در حیوانخانه منتقل و به‌طور راندوم در قفس‌های ۴ تایی تقسیم شدند. جهت سازگاری با محیط جدید، حیوانات به مدت ۲ هفته در این اتاق نگهداری شدند. دمای اتاق  $25^{\circ}\text{C}$  و دارای شرایط استاندارد ۱۲ ساعت تاریکی و ۱۲ ساعت روشنایی بود. انجام مطالعه با کد اخلاق IR.KMU.REC.1390.192 در کمیته اخلاق دانشگاه علوم پزشکی کرمان به تصویب رسیده بود.

پس از دو هفته حیوانات در هر قفس، شماره گذاری و وزن شدند. از بین آنها ۸ حیوان به‌طور راندوم به‌عنوان گروه تغذیه نرمال (حیوانات با غذای استاندارد) انتخاب شدند که این گروه در طول دوره تیمار، با غذای استاندارد و سایر حیوانات با غذای غنی از فروکتوز تغذیه شدند. تغذیه با غذای غنی از فروکتوز به مدت ۶ هفته ادامه یافت. وزن حیوانات در پایان هر هفته اندازه‌گیری و ثبت شد. پس از ۶ هفته تغذیه با غذای پر فروکتوز، برای اطمینان از ایجاد مقاومت انسولینی تست تحمل گلوکز بر روی حیوانات انجام شد (۱۰). به این منظور پس از ۱۲ ساعت محرومیت از غذا، به میزان گلوکز به‌صورت داخل معدی و با استفاده از گاوآژ با دوز ۲ g/kg وزن بدن به حیوانات تزریق و نیم و ۱ ساعت پس از تزریق، قند خون با گلوکومتر اندازه‌گیری شد (۸). سپس حیوانات به‌صورت زیر تیمار شدند:

گروه اول: گروه پیوگلیتازون که روزانه مقدار ۱۰ mg/kg وزن بدن داروی پیوگلیتازون را به‌صورت داخل معدی با استفاده از گاوآژ دریافت کردند (گروه پیوگلیتازون) (۱۱).  
گروه دوم: روزانه ۱۰۰۰ mg/kg وزن بدن عصاره آبی مازو را به‌صورت داخل معدی با استفاده از گاوآژ دریافت کردند (گروه مازو) (۸).

گروه سوم: گروه کنترل مقاوم به انسولین که هیچ دارویی دریافت نکردند (گروه کنترل).

گروه چهارم: گروه تغذیه نرمال که همانند قبل غذای استاندارد مصرف می‌کردند (گروه کنترل سالم).

غلظت مورد استفاده‌ی عصاره بر اساس مطالعات قبلی ما که بر روی حیوانات دیابتی شده با استرپتوزوتوسین انجام شده بود، تعیین گردید (۸). طول دوره تیمار دارویی دو هفته بوده و دارو و عصاره‌ها بوسیله گاوآژ به حیوانات خوراندند شدند (۱۲). حجم تزریق برای تمامی حیوانات ۱ ml بود. به این منظور مقدار دارو یا عصاره مورد نیاز برای هر حیوان بر اساس وزن بدن محاسبه و سپس در ۱ ml آب مقطر حل شده و به داخل معده حیوان تزریق گردید. در طول این

مدت، وزن حیوانات به صورت هفتگی و میزان مصرف آب و غذای آنها به صورت روزانه اندازه گیری و ثبت شد. جمع آوری نمونه:

پس از پایان دوره تیمار دو هفته‌ای، نمونه گیری از حیوانات انجام شد. تمامی نمونه گیری‌ها در صبح و پس از ۱۲ ساعت محرومیت از غذا صورت گرفت. در زمان نمونه گیری، تزریق دارو یا عصاره گیاهی به حیوانات انجام نشد. جهت نمونه گیری، ابتدا حیوان با اتر بیهوش شد و پس از خونگیری از قلب، نمونه خون در دو لوله مجزا (یکی دارا و دیگری فاقد ضد انعقاد EDTA Ethylenediaminetetraacetic acid) جمع آوری شد. نمونه‌های خون تا زمان جداسازی سرم و پلاسما روی یخ قرار داده شدند. به منظور جداسازی سرم یا پلاسما، نمونه‌های خون در دمای  $4^{\circ}\text{C}$  و دور  $3000\text{rpm}$  به مدت ۱۰ دقیقه سانتریفیوژ، و بلافاصله به فریزر  $-75^{\circ}\text{C}$  منتقل شدند.

اندازه گیری فاکتورهای بیوشیمیایی: اندازه گیری غلظت‌های گلوکز، تری گلیسرید، کلسترول و HDL-C (محصول شرکت پارس آزمون) در آزمایشگاه رازی کرمان و توسط دستگاه اتوآنالایزر RA-1000 انجام شد.

اندازه گیری غلظت انسولین و آدیپونکتین: با استفاده از کیت‌های الایزای اختصاصی انسولین رت (CEA448Ra, USCN, China) و آدیپونکتین رت (SEA605Ra, USCN, China) و دقیقاً مطابق دستورالعمل کیت، مقادیر انسولین و آدیپونکتین اندازه گیری شدند. حساسیت کیت برای آدیپونکتین  $0.127\text{ ng/mL}$  و برای انسولین  $\text{pg/mL}$   $49/3$  بود.

سپس محاسبه HOMA-IR با استفاده از فرمول 
$$\text{HOMA} - \text{IR} = \frac{\text{glucose}(\text{mmol/L}) \cdot \text{insulin}(\mu\text{U/ml})}{22.5}$$
 اندازه گیری شد.

اندازه گیری اسیدهای چرب آزاد پلاسما: اندازه گیری اسیدهای چرب پلاسمایی بر اساس روش Kangani و همکاران (۲۰۰۸) و با تغییر اندک در مقادیر پلاسما و

استاندارد داخلی، انجام شد (۱۳). ابتدا چربی‌ها از سایر اجزای پلاسما جدا شد و سپس اسیدهای چرب آزاد از سایر لیپیدها با کروماتوگرافی لایه نازک جدا گردید. در نهایت از اسیدهای چرب مشتق متیل استر تهیه و جهت آنالیز به دستگاه کروماتوگرافی گاز تزریق شد. استخراج لیپیدها:

برای استخراج لیپیدها از پلاسما از معرف Dole (ایزوپروپانول-هپتان-اسید کلریدریک (۱M) با نسبت حجمی به ترتیب ۴۰ به ۱۰ به ۱) استفاده شد. بدین ترتیب که ابتدا  $450\ \mu\text{l}$  از پلاسما به یک لوله آزمایش بزرگ منتقل شده و  $50\ \mu\text{l}$  پنتا دکانویک اسید ( $1\text{mg/ml}$ ) (Merck, Germany) به آن افزوده شد. سپس  $4\ \text{ml}$  از معرف Dole به آن افزوده و به مدت ۲۰ دقیقه به شدت ورتکس شد. پس از آن لوله آزمایش به مدت ۱۰ دقیقه در دمای اتاق انکوبه و سپس  $2\ \text{ml}$  آب مقطر و  $4\ \text{ml}$  هپتان نرمال به لوله اضافه شد. مجدداً لوله به مدت ۵ دقیقه ورتکس و سپس به مدت ۱۰ دقیقه در  $4000\ \text{rpm}$  و دمای  $4^{\circ}\text{C}$  سانتریفیوژ شد. در انتها فاز روایی (هپتان) که حاوی تمامی اجزای لیپیدی پلاسماست، جدا و حلال آن در دمای  $40^{\circ}\text{C}$  تبخیر شد.

جداسازی اسیدهای چرب:

برای جداسازی اسیدهای چرب آزاد از سایر لیپیدها از کروماتوگرافی لایه نازک (Thin Layer Chromatography, TLC) استفاده شد. به این منظور: به فاز لیپیدی جدا شده در مرحله قبل  $0.5\text{ml}$  کلروفرم افزوده شد و سپس تمامی  $0.5\text{ml}$  نمونه روی نقاط مجاور هم بر روی پلیت TLC (Art.5553, Merck, Germany) لکه-گذاری شد. فاز متحرک ترکیب حلال هپتان-دی اتیل اتر-اسید استیک و به نسبت حجمی ۶۰ به ۴۰ به ۳ بود.

برای تشخیص موقعیت باندها بر روی صفحه TLC از ید استفاده شد. به این منظور  $50\ \text{گرم ید}$  (Merck, Germany) را در زیر هود در یک بشر بزرگ ریخته و پس از قرار دادن صفحه TLC درون بشر، دهانه آن با فویل آلومینیومی بسته شد. باند اسیدهای چرب آزاد در مقایسه با

تا پایان کار حفظ شد. دمای آون به مدت ۱ دقیقه بر روی  $45^{\circ}\text{C}$  تنظیم شد. سپس دما با سرعت  $25^{\circ}\text{C}/\text{min}$  تا  $160^{\circ}\text{C}$  و سپس با سرعت  $30^{\circ}\text{C}/\text{min}$  تا  $195^{\circ}\text{C}$  افزایش یافت و پس از یک توقف  $0/5$  دقیقه‌ای با سرعت  $15^{\circ}\text{C}/\text{min}$  تا  $220^{\circ}\text{C}$  افزایش یافت و در این دما تا پایان جداسازی حفظ شد. دتکتور FID نیز دارای دمای  $350^{\circ}\text{C}$  و جریان گاز هیدروژن و هوا به ترتیب  $30\text{ ml}/\text{min}$  و  $300\text{ ml}/\text{min}$  بود. طول مدت هر run، ۲۲ دقیقه و حجم تزریق به دستگاه  $1\ \mu\text{l}$  بود.

آنالیز داده‌ها:

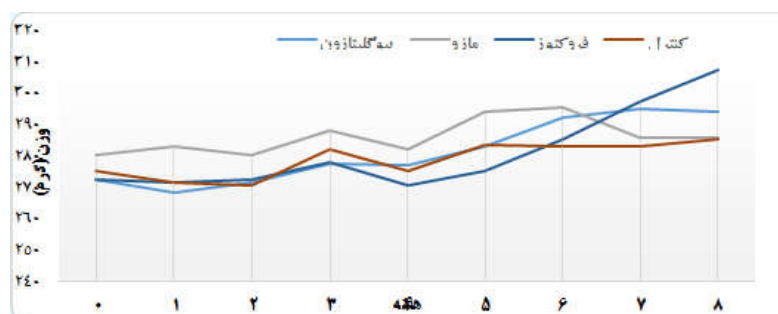
آنالیز داده‌ها با استفاده از نرم افزار SPSS نسخه ۱۸ انجام شد. با توجه به توزیع نرمال داده‌ها و برابری واریانس‌ها، از تست ANOVA یک طرفه برای آنالیز استفاده شد. همچنین جهت تغییرات در بین گروه‌ها با آزمون Tukey Post Hoc تعیین گردید. نتایج به صورت  $\text{Mean} \pm \text{SE}$  گزارش و P Value کمتر از  $0/05$  معنی‌دار نظر گرفته شد. حیوانات گروه غذایی نرمال در تمام دوره تیمار ۸ هفته‌ای غذایی استاندارد دریافت کردند. در سایر گروه‌ها حیوانات به مدت ۶ هفته با غذای غنی از فروکتوز تغذیه شدند و پس از این دوره به مدت ۲ هفته و به صورت روزانه عصاره گیاهی مازو ( $1000\text{ mg}/\text{kg}$ ) یا پیوگلیتازون ( $10\text{ mg}/\text{kg}$ ) را به وسیله گاواژ دریافت نمودند. حیوانات گروه کنترل در طول ۸ هفته با غذای غنی از فروکتوز و بدون هیچ دارویی تغذیه شدند ( $n=8$ ).

استاندارد اسید چرب، از روی صفحه TLC تراشیده و پس از انتقال به لوله آزمایش، بمنظور بازیابی اسیدهای چرب،  $1\text{ ml}$  کلروفرم به لوله اضافه و به مدت ۳۰ ثانیه ورتکس و سپس در دمای  $40^{\circ}\text{C}$  سانتریفیوژ و فاز رویی (کلروفرم حاوی اسیدهای چرب) جدا و در آون  $40^{\circ}\text{C}$  کاملاً تبخیر شد. تهیه مشتق متیل استر اسیدهای چرب:

تهیه مشتق متیل استر اسیدهای چرب با استفاده از محلول  $\text{BF}_3$  (Trifluoride Boron) (Sigma, USA) (B1252) در متانول صورت گرفت. به این صورت که به لوله حاوی اسیدهای چرب مرحله قبل،  $1\text{ ml}$  محلول  $\text{BF}_3$  در متانول ( $1/14$ ) افزوده و در لوله بسته شد. محلول به شدت هم زده شده و به مدت  $1/5$  ساعت در دمای  $60^{\circ}\text{C}$  قرار داده شد. پس از  $1/5$  ساعت،  $1/5\text{ ml}$  محلول اشباع بیکربنات سدیم و سپس  $2\text{ ml}$  هپتان نرمال به لوله اضافه شد. لوله به شدت به مدت ۲ دقیقه ورتکس و سپس به مدت ۲ دقیقه در  $4000\text{ rpm}$  و  $40^{\circ}\text{C}$  سانتریفیوژ و فاز رویی (هپتان) حاوی متیل استرهای اسید چرب (Free Fatty Acid Methyl Ester, FAME) جدا شد. هپتان تا حجم  $0/5\text{ ml}$  در آون تبخیر و سپس به دستگاه GC (Agilent, 7890A, USA) تزریق شد.

کروماتوگرافی گاز:

دمای inlet بر روی  $300^{\circ}\text{C}$ ، فشار گاز حامل  $30\text{ psi}$  و سیستم  $30:1$  split تنظیم شد. گاز حامل نیتروژن و دارای شیب فشاری  $30\text{ psi}$  به مدت ۸ دقیقه و سپس افزایش فشار با سرعت  $20\text{ psi}/\text{min}$  تا سقف  $90\text{ psi}$  تنظیم و این فشار



نمودار ۱. تغییر وزن حیوانات گروه تیمار شده با عصاره آبی گال‌های مازو در مقایسه با گروه‌های کنترل، پیوگلیتازون و غذای نرمال

مجله علمی دانشگاه علوم پزشکی کردستان / دوره بیست و شش / فروردین و اردیبهشت ۱۴۰۰

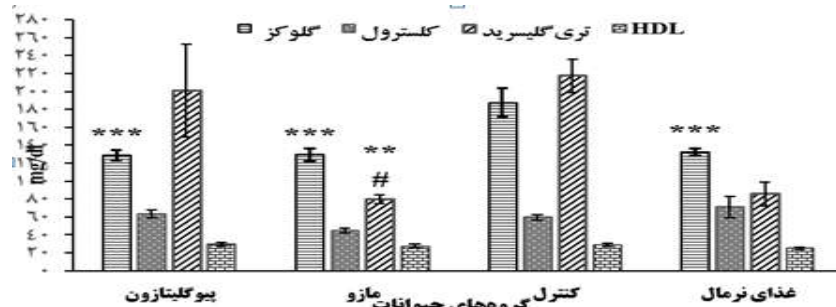
گیاهی مازو (۱۰۰۰mg/kg) یا پیوگلیتازون (۱۰mg/kg) را به وسیله گاواژ دریافت نمودند. حیوانات گروه کنترل در طول ۸ هفته با غذای غنی از فروکتوز و بدون هیچ دارویی تغذیه شدند (n=۸).

حیوانات گروه غذای نرمال در تمام دوره تیمار ۸ هفته‌ای غذای استاندارد دریافت کردند. در سایر گروه‌ها حیوانات به مدت ۶ هفته با غذای غنی از فروکتوز تغذیه شدند و پس از این دوره به مدت ۲ هفته و به صورت روزانه عصاره

جدول ۱. میزان مصرف روزانه آب و غذای حیوانات در نتیجه تیمار با عصاره آبی گال‌های مازو

آب مصرفی (ml/day)				غذای مصرفی (g/day)			
کنترل	غذای نرمال	پیوگلیتازون	مازو	کنترل	غذای نرمال	پیوگلیتازون	مازو
۴۷/۱±۸/۰۴	۳۵/۰±۵/۸۲	۶۰/۲±۱	۵۲/۲±۵/۱	۱۳/۰±۳/۳۹	۲۲/۰±۴/۵۳	۱۳/۰±۴/۲۵	۱۲/۰±۷/۳۵
P value	۰/۰۰۱	۰/۰۰۱	۰/۸۰۳	P value	>۰/۰۰۱	۱	۰/۹۲۶

P value گزارش شده، اختلاف با گروه کنترل را نشان می‌دهد



نمودار ۲. تأثیر عصاره آبی گال‌های مازو بر غلظت گلوکز، تری‌گلیسرید، کلسترول توتال و HDL سرمی

طول ۸ هفته با غذای غنی از فروکتوز و بدون هیچ دارویی تغذیه شدند. تمامی فاکتورها در نمونه سرمی و به روش آنزیمی و بعد از ۱۲ ساعت ناشتایی اندازه‌گیری شده است (n=۸). داده‌ها به صورت میانگین±خطای استاندارد گزارش شده است و با آزمون ANOVA یک‌طرفه آنالیز شده‌اند و  $P < ۰/۰۵$  معنی‌دار در نظر گرفته شده است.

$P < ۰/۰۰۱$ \*\*\* (نسبت به گروه فروکتوز)

$P < ۰/۰۵$ ## (نسبت به گروه پیوگلیتازون)

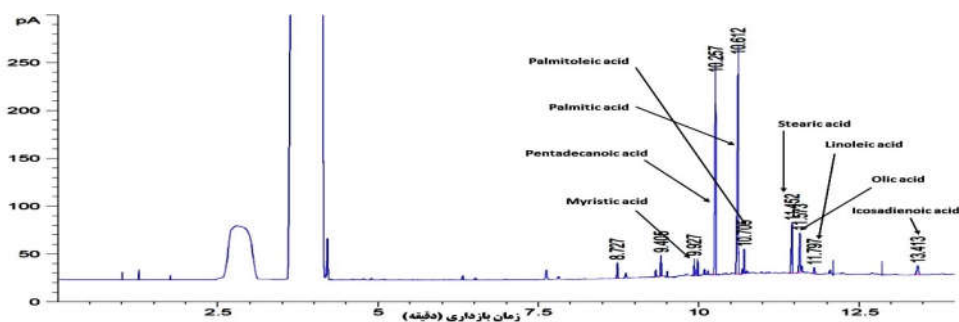
حیوانات گروه غذای نرمال در تمام دوره تیمار ۸ هفته‌ای غذای استاندارد دریافت می‌کردند. در سایر گروه‌ها حیوانات به مدت ۶ هفته با غذای غنی از فروکتوز تغذیه شدند و پس از این دوره به مدت ۲ هفته و به صورت روزانه عصاره مازو (۱۰۰۰ mg/kg) یا پیوگلیتازون (۱۰ mg/kg) را به وسیله گاواژ دریافت نمودند. حیوانات گروه کنترل در

جدول ۲. تأثیر عصاره آبی گال‌های مازو بر غلظت انسولین، آدیپونکتین و شاخص HOMA-IR

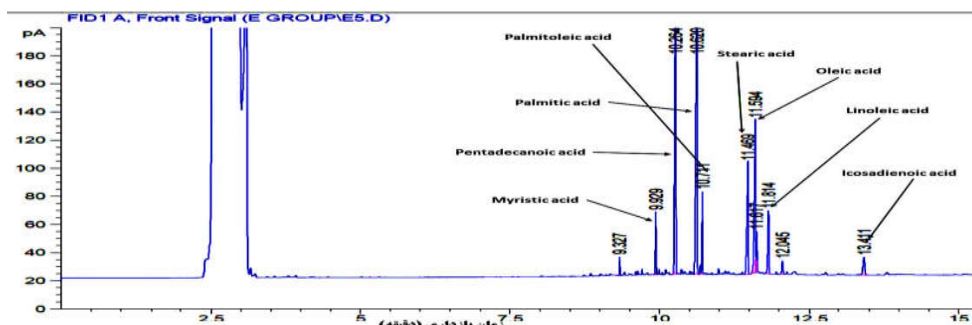
P value	پیوگلیتازون	مازو	کنترل	غذای نرمال	
>۰/۰۰۰۱	۴۰/۲±۲/۷۵	۳۱/۶±۲/۳۲	۱۳۷/۳۴±۶/۲	۵۰/۴±۵/۸	غلظت انسولین (pmol/l)
۰/۶۲	۵۰/۰±۹/۲۹	۴/۰±۵۹/۲	۳/۰±۸۶/۱۴	۲/۰±۹/۱۴	غلظت آدیپونکتین (ng/ml)
>۰/۰۰۰۱	۲/۰±۱۱/۱۳	۱/۰±۶/۳۲	۹/۲±۷/۱۳	۲/۰±۷/۳۸	HOMA-IR

طول ۸ هفته با غذای غنی از فروکتوز و بدون هیچ دارویی تغذیه شدند. هورمون‌ها در نمونه سرمی و بعد از ۱۲ ساعت ناشتایی به روش الایزا و HOMA با فرمول محاسبه شد (n=۸). داده‌ها به صورت میانگین ± خطای استاندارد گزارش شده است و با آزمون ANOVA یک طرفه آنالیز شده‌اند و  $P < 0.05$  معنی دارد در نظر گرفته شده است (جدول ۲).

حیوانات گروه غذای نرمال در تمام دوره تیمار ۸ هفته‌ای غذای استاندارد دریافت می‌کردند. در سایر گروه‌ها حیوانات به مدت ۶ هفته با غذای غنی از فروکتوز تغذیه شدند و پس از این دوره به مدت ۲ هفته و به صورت روزانه عصاره مازو (۱۰۰۰ mg/kg) یا پیوگلیتازون (۱۰ mg/kg) را به وسیله گاواژ دریافت نمودند. حیوانات گروه کنترل در



شکل ۱. نمونه کروماتوگرام اسیدهای چرب آزاد در حیوانات تیمار شده عصاره مازو



شکل ۲. نمونه کروماتوگرام اسیدهای چرب آزاد در حیوانات گروه کنترل

تغذیه شدند. اسیدهای چرب آزاد در نمونه پلاسمایی و بعد از ۱۲ ساعت ناشتایی به روش کروماتوگرافی گاز اندازه‌گیری شد. (n=۸). داده‌ها به صورت میانگین ± خطای استاندارد گزارش شده است و با آزمون ANOVA یک طرفه آنالیز شده‌اند و  $P < 0.05$  معنی دارد در نظر گرفته شده است (جدول ۳).

حیوانات گروه غذای نرمال در تمام دوره تیمار ۸ هفته‌ای غذای استاندارد دریافت می‌کردند. در سایر گروه‌ها حیوانات به مدت ۶ هفته با غذای غنی از فروکتوز تغذیه شدند و پس از این دوره به مدت ۲ هفته و به صورت روزانه عصاره مازو (۱۰۰۰ mg/kg) یا پیوگلیتازون (۱۰ mg/kg) را به وسیله گاواژ دریافت نمودند. حیوانات گروه کنترل در طول ۸ هفته با غذای غنی از فروکتوز و بدون هیچ دارویی

در مقایسه با گروه کنترل  $P < 0.05$ ، \*  $P < 0.01$  و \*\*  $P < 0.001$  و \*\*\*

جدول ۳. تأثیر عصاره مازو بر پروفیل اسیدهای چرب آزاد پلاسمایی در مقایسه با گروه فروکتوز و پیوگلیتازون

اسید چرب	گروه‌ها	غذای نرمال	کنترل	مازو	پیوگلیتازون
دکانوئیک اسید ( $\mu\text{mol/L}$ )		۱/۰±۴۳/۰۵	۱/۰±۱۱/۱	۱/۰±۱۲/۰۲	۱/۰±۵۰۵/۰۵
لائوریک اسید ( $\mu\text{mol/L}$ )		۰/۰±۹۴/۰۷	۱/۰±۰۸/۰۸	۰/۰±۹۷/۱۱	۱/۰±۱۸/۳۰
میربستیک اسید ( $\mu\text{mol/L}$ )		۱/۰±۰۷/۰۲	۱/۰±۱۰/۰۷	۱/۰±۲۸/۰۶	۱/۰±۲۴/۰۶
پالمیتیک اسید ( $\mu\text{mol/L}$ )		۵/۰±۹۷/۵۷***	۱۱/۲±۱۶/۶۲	۸/۰±۴۲/۳۸*	۵/۰±۱۸/۱۸***
پالمیتوئیک اسید ( $\mu\text{mol/L}$ )		۱/۰±۰۶/۱۴	۱/۰±۴۷/۱۳	۱/۰±۷۶/۱۹	۱/۰±۱۰/۰۱
استئاریک اسید ( $\mu\text{mol/L}$ )		۲/۰±۳۵/۱۲	۲/۰±۷۳/۱۲	۲/۰±۸۲/۱۱	۲/۰±۰۶/۱۲
اولئیک اسید ( $\mu\text{mol/L}$ )		۲/۰±۲۰/۲۲**	۲/۰±۹۲/۲۳	۳/۰±۸۶/۴۳	۱/۰±۷۲/۰۹**
ایکوزا دی انوئیک اسید ( $\mu\text{mol/L}$ )		۲/۰±۲۲/۰۶*	۱/۰±۴۵/۱۲	۱/۰±۶۴/۳	۳/۰±۵۸/۳۳**
اسید چرب آزاد توتال ( $\mu\text{mol/L}$ )		۱۷/۰±۲۶/۷۳***	۲۲/۲±۹۸/۷۲	۲۱/۱±۳۳/۵۱	۱۷/۱±۱۹/۱۴**

#### یافته‌ها

هیچ اختلاف معنی‌داری را نشان نداد. وزن حیوانات در هفته‌های اول تا هشتم نیز اختلاف معنی‌داری نداشت. وزن هفته هشتم در گروه کنترل (g)  $307.8 \pm 6$ ، غذای نرمال (g)  $285.9 \pm 1.2$ ، پیوگلیتازون (g)  $294.16 \pm 3.3$  و مازو (g)  $285.14 \pm 9.3$  بود که هیچ کدام از گروه‌ها با گروه کنترل اختلاف معنی‌داری را نشان نداد. اما میزان افزایش وزن حیوانات در طول هشت هفته، که از اختلاف وزن هفته هشتم از وزن اولیه حیوانات بدست آمده بود، در بین گروه‌ها اختلاف معنی‌داری را نشان داد. بدین صورت که افزایش وزن در گروه مازو (g)  $5.7 \pm 8.2$  به‌طور معنی‌داری کمتر از گروه فروکتوز (g)  $35.1 \pm 2.8$  بود و مازو از افزایش وزن در نتیجه مصرف غذای پر فروکتوز جلوگیری کرد. روند تغییرات وزن حیوانات در نمودار شماره ۱ نشان داده شده است.

فاکتورهای بیوشیمیایی سرم: میزان گلوکز سرمی در گروه عصاره مازو (mg/dl)  $129.6 \pm 3.8$  در مقایسه با گروه کنترل (mg/dl)  $187.15 \pm 5.9$  کاهش معنی‌داری نشان داد. اختلاف معنی‌داری بین میزان گلوکز ناشتا در نتیجه مصرف این عصاره با گروه غذای نرمال (mg/dl)  $132.3 \pm 4.9$  و گروه پیوگلیتازون (mg/dl)  $129.5 \pm 1.8$  مشاهده نشد.

وزن موش‌ها و میزان مصرف آب و غذا: اهمیت بررسی تغییرات وزنی حیوانات همراه با میزان مصرف آب و غذا در این است که مشخص شود آیا تغییرات وزنی ایجاد شده در وضعیت متابولیسمی حیوانات، به دلیل کاهش یا افزایش مصرف غذا و یا به دلیل مصرف داروها و عصاره‌های گیاهی بوده است. هیچ اختلاف معنی‌داری از نظر میزان مصرف آب و غذا بین گروه تیمار شده با عصاره گیاهی و گروه کنترل وجود نداشت. میزان مصرف آب در گروه پیوگلیتازون ( $60.2 \pm 1$  ml/day) به‌طور معنی‌داری بالاتر از گروه کنترل ( $47.1 \pm 8.04$  ml/day) و در گروه غذای نرمال ( $35.0 \pm 5.82$  ml/day) به‌طور معنی‌داری کمتر از گروه کنترل بود. مصرف غذا نیز در گروه کنترل ( $22.0 \pm 4.53$  g/day) به‌طور معنی‌داری بالاتر از گروه غذای نرمال ( $13.0 \pm 3.39$  ml/day). خلاصه نتایج در جدول ۱ ذکر شده است.

وزن حیوانات: وزن اولیه حیوانات، که قبل از آغاز مصرف غذای غنی از فروکتوز اندازه‌گیری شده بود، در گروه کنترل (g)  $272.8 \pm 3.4$ ، غذای نرمال (g)  $274.8 \pm 9.3$ ، پیوگلیتازون (g)  $272.12 \pm 2.3$  و مازو (g)  $280.13 \pm 1.1$ ،

معنی‌داری در HOMA-IR بین گروه‌های تیمار شده با عصاره‌های گیاهی با پیوگلیتازون وجود نداشت. نتایج در جدول شماره ۲ خلاصه شده است.

غلظت اسیدهای چرب آزاد:

غلظت اسیدهای چرب توتال در گروه مازو پیوگلیتازون ( $21/1 \pm 33/51 \mu\text{mol/L}$ ),

غذای و ( $17/1 \pm 9/14 \mu\text{mol/L}$ )

نرمال ( $17/0 \pm 26/73 \mu\text{mol/L}$ ) بود که اختلاف معنی‌داری

با گروه کنترل ( $22/2 \pm 98/73 \mu\text{mol/L}$ ) نشان داد

( $P=0/034$ ). اختلافی بین عصاره گیاهی و پیوگلیتازون نیز

از نظر اثر بر غلظت اسیدچرب توتال مشاهده شد. در بین

اسیدهای چرب نیز غلظت پالمیتات در گروه تحت درمان

با عصاره مازو اختلاف معنی‌داری با گروه کنترل نشان داد.

اشکال شماره ۱ و ۲ و جدول ۳، خلاصه نتایج را نشان می‌-

دهد.

### بحث

از نظر کلینیکی مقاومت انسولینی با افزایش مزمن غلظت گلوکز و انسولین مشخص می‌شود که علت آن کاهش حساسیت بافت‌های برداشت‌کننده گلوکز (بافت چربی و عضلانی) به غلظت بالای انسولین موجود در گردش خون می‌باشد (۱۴). دیابت نوع ۲ شایع‌ترین اختلال متابولیک در دنیا است و شیوع بالای این بیماری لزوم تحقیقات در این زمینه را نشان می‌دهد (۲).

وجود فلاونوئیدها، آلکالوئیدها، گلیکوزیدها، تانن‌ها و ترکیبات فنولی باعث می‌شود که گیاهان اثرات آنتی‌دیابتیک متفاوتی اعمال کنند (۱۵). در این مطالعه اثر عصاره گیاهان مازو بر فاکتورهای مقاومت انسولینی در رت‌های مقاوم به انسولین بررسی شد. مقاومت انسولینی ایجاد شده در رت که در این مطالعه نیز مورد استفاده قرار گرفت، در نتیجه مصرف غذای پر فروکتوز ایجاد می‌شود و این مدلی است که به‌طور رایج برای مطالعات مورد استفاده قرار

میزان تری‌گلیسرید خون در گروه مازو ( $\text{mg/dl}$ )  $79/5 \pm 8/1$  کاهش معنی‌داری در مقایسه با گروه کنترل ( $217/18 \pm 6/5 \text{ mg/dl}$ ) نشان داد. میزان کاهش تری‌گلیسرید بوسیله عصاره‌های مازو در مقایسه با پیوگلیتازون ( $200/51 \pm 7/6 \text{ mg/dl}$ ) نیز معنی‌دار بود ( $P < 0/05$ ). پیوگلیتازون بر خلاف عصاره مازو تأثیر معنی‌داری بر میزان تری‌گلیسرید خون در مقایسه با گروه کنترل نداشت. غلظت کلسترول توتال در گروه مازو ( $50/2 \pm 4/63 \text{ mg/dl}$ ) تفاوت معنی‌داری با گروه کنترل ( $59/3 \pm 3/9 \text{ mg/dl}$ ) و پیوگلیتازون ( $63/4 \pm 4/2 \text{ mg/dl}$ ) نشان نداد. سطح کلسترول خون در گروه کنترل و غذای نرمال ( $\text{mg/dl}$ )  $71/12 \pm 1/1$  نیز تفاوتی نداشت. عصاره‌ی گیاهی مازو ( $27/2 \pm 2/1 \text{ mg/dl}$ ) تأثیر معنی‌داری بر سطح HDL-C نیز در مقایسه با گروه کنترل ( $29/1 \pm 2/8 \text{ mg/dl}$ ) و پیوگلیتازون ( $29/2 \pm 3/4 \text{ mg/dl}$ ) نداشت. خلاصه نتایج در نمودار شماره ۲ نشان داده شده است.

سطح سرمی انسولین و آدیپونکتین:

سطح انسولین سرمی در گروه مازو ( $31/6 \pm 2/32 \text{ pmol/L}$ ) به‌طور معنی‌داری کمتر از گروه کنترل ( $137/34 \pm 6/2 \text{ pmol/L}$ ) است. اختلاف معنی‌داری بین سطح انسولین در گروه دریافت‌کننده عصاره‌ی گیاهی با گروه غذای نرمال ( $50/4 \pm 5/8 \text{ pmol/L}$ ) یا پیوگلیتازون ( $40/2 \pm 2/75 \text{ pmol/L}$ ) دیده نشد. سطح سرمی آدیپونکتین در گروه دریافت‌کننده عصاره مازو ( $4/0 \pm 59/2 \mu\text{g/ml}$ ) نسبت به گروه کنترل ( $3/0 \pm 86/14 \mu\text{g/ml}$ ) اختلاف معنی‌داری نشان نداد. نتایج HOMA-IR: HOMA-IR به‌عنوان شاخص اندازه‌گیری مقاومت انسولینی در عصاره مازو ( $1/0 \pm 6/32$ ) اختلاف معنی‌داری با گروه کنترل ( $9/2 \pm 7/13$ ) نشان داد. پیوگلیتازون ( $2/0 \pm 11/13$ ) نیز به‌طور معنی‌داری باعث کاهش HOMA-IR در حیوانات شد. نتایج نشان داد که این عصاره اثر معنی‌داری بر کاهش HOMA و افزایش حساسیت به انسولین دارد. اختلاف

می‌گیرد و بخوبی شرایط مقاومت انسولینی در انسان را تقلید می‌کند (۱۶).

با توجه به اینکه چاقی و پرخوری فاکتورهای خطر مهمی برای مقاومت انسولینی محسوب می‌شود، وزن حیوانات و نیز مصرف آب و غذای آنها در این مطالعه مورد ارزیابی قرار گرفت (۱۷). نتایج این مطالعه نشان داد که عصاره‌ی مازو علیرغم اینکه تأثیری بر میزان آب و غذای مصرفی حیوانات نداشت، اما برخلاف پیوگلیتازون از افزایش وزن حیوانات در مقایسه با گروه فروکتوز جلوگیری کرد. مصرف فروکتوز در مقایسه با گلوکز باعث افزایش بیشتر ذخیره چربی احشایی می‌شود و در ایجاد مقاومت به انسولین نقش ایفا می‌کند (۱۶، ۱۸). ارتباط شدیدی بین چاقی و مقاومت انسولینی وجود دارد و در چاقی و افزایش توده چربی، تولید سیتوکین‌هایی افزایش می‌یابد که باعث ایجاد مقاومت به انسولین می‌شوند (۱۹). برعکس کاهش وزن حساسیت به انسولین و شاخص QUICKI (Quantitative insulin check index) را بهبود می‌بخشد و از بروز سندروم متابولیک جلوگیری می‌کند (۲۰) و همچنین کاهش وزن و ورزش، حتی در مصرف رژیم غنی از کربوهیدرات نیز، شدت سندروم متابولیک را کاهش می‌دهد (۲۱). با توجه به شواهد فوق می‌توان اظهار داشت که احتمالاً عصاره‌ی مازو از طریق کاهش وزن حیوانات در ایجاد حساسیت به انسولین مؤثر واقع می‌شود.

عصاره متانولی ریشه مازو باعث کاهش معنی‌دار گلوکز خون در رت‌های دیابتی شده با آلوکسان می‌شود (۲۲) و همچنین عصاره آبی گال‌های آن ضمن مهار آنزیم آلفا گلوکوزیداز باعث کاهش غلظت گلوکز در موش‌های سالم و دیابتی شده با استرپتوزوتوسین می‌گردد (۸).

در مطالعه ما نیز عصاره‌ی مازو به‌طور معنی‌داری باعث کاهش غلظت گلوکز خون و انسولین شد. همچنین این عصاره به‌طور معنی‌داری مقاومت انسولینی و HOMA-IR را کاهش داد. شاخص‌های متعددی مانند QUICKI، HOMA.β (The homeostasis model assessment)

HOMA-AD و (of β-cell function) HOMA-IR) برای بررسی وضعیت حساسیت به انسولین وجود دارند (۱۴). اما HOMA-IR به‌طور گسترده‌ای در مطالعات کلینیکی برای ارزیابی وضعیت حساسیت به انسولین مورد استفاده قرار می‌گیرد (۲۳).

ترشح انسولین به‌وسیله فاکتورهای متعددی کنترل می‌شود ولی مهمترین سیگنال تحریک ترشح انسولین، افزایش مقدار گلوکز است که در مصرف غذاهای پرکربوهیدرات رخ می‌دهد و به آن ترشح انسولین تحریک‌شده به‌وسیله گلوکز (Glucose Stimulated Insulin Secretion, GSIS) گفته می‌شود (۲۴). احتمالاً عصاره‌ی مازو از طریق کاهش گلوکز خون (۸)، باعث کاهش گلوکز به کمتر از حد آستانه و برداشته شدن اثر GSIS و در نتیجه کاهش ترشح انسولین می‌شوند (۲۵). کاهش HOMA-IR و گلوکز خون، همراه با کاهش سطح انسولین نشان‌دهنده افزایش عملکرد انسولین بجای افزایش ترشح انسولین می‌باشد که ممکن است مربوط به اثرات مستقیم شبه انسولینی عصاره‌ها باشد (۲۶).

عصاره مازو به‌طور معنی‌داری مقدار تری‌گلیسرید را کاهش داد ولی هیچ تأثیری بر میزان کلسترول توتال و HDL-C نداشت. در مطالعه Gholamhosseinian و همکاران (۲۰۱۲) مشخص گردید که عصاره آبی مازو در خرگوش‌های هیپرلیپیدمیک باعث کاهش مقدار تری‌گلیسرید، کلسترول تام و کلسترول LDL می‌شود (۲۷). نتایج به‌دست آمده از عصاره مازو با مطالعه ما همخوانی دارد.

هیپرتری‌گلیسریدمی و افزایش تولید VLDL از علائم شایع مقاومت انسولینی و از ریسک فاکتورهای قلبی-عروقی محسوب می‌شوند. راهنمای ATP III (Adult treatment panel III) توصیه می‌کند درمان‌هایی که منجر به کاهش تری‌گلیسرید و کلسترول LDL و همچنین افزایش کلسترول HDL می‌گردند، در سندروم متابولیک باید مورد توجه قرار گیرند (۲۸). تیاژولیدین دیون‌های رایج (روزیگلیتازون و پیوگلیتازون) تأثیر کمی بر روی

مقاومت انسولینی یک وضعیت پیچیده متابولیکی است که با کاهش عملکرد انسولین در بافت‌ها و در نتیجه، افزایش غلظت انسولین، گلوکز، تری‌گلیسرید، کاهش HDL-c، افزایش اسیدهای چرب آزاد و کاهش آدیپونکتین مشخص می‌گردد. تیازولیدین دیون‌ها دسته دارویی هستند که با اثر بر  $\gamma$ -PPAR حساسیت به انسولین را افزایش می‌دهند.

### نتیجه‌گیری

مطالعه حاضر نشان داد که عصاره مازو موجب افزایش حساسیت به انسولین در موش‌های مبتلا به مقاومت انسولینی در نتیجه یک رژیم پرفروکتوز می‌شود. از آنجا که این عصاره تأثیری بر ترشح آدیپونکتین به‌عنوان یک آدیپوکتین حساس کننده به انسولین و سطح اسیدهای چرب آزاد پلاسمایی ندارد، بنابراین این عصاره احتمالاً اثرات افزایش حساسیت انسولینی را از طریق سایر فاکتورهای دخیل در این مورد مانند مهار التهاب، افزایش فعالیت یا بیان  $\gamma$ -PPAR، افزایش انتقال گلوکز ترانسپورتر ۴ به سطح غشا انجام می‌شود. بنابراین در نظر داریم در مطالعات تکمیلی موارد فوق را بررسی نماییم.

### تشکر و قدردانی

این طرح با کد اخلاق IR.KMU.REC.1390.92 در کمیته اخلاق دانشگاه علوم پزشکی کرمان به تصویب رسیده و هزینه انجام آن طبق قرارداد ۹۰/۱۰۰ توسط معاونت پژوهشی دانشگاه علوم پزشکی کرمان تامین و تمامی مراحل مطالعه در گروه بیوشیمی دانشکده پزشکی افضلی پور و در دانشگاه علوم پزشکی کرمان انجام شده است. نویسندگان از تمامی یاری دهندگان انجام این مطالعه کمال قدردانی و تشکر را اعلام می‌دارند. نویسندگان اعلام می‌دارند که هیچ گونه تعارض منافی در انتشار این مقاله وجود ندارد.

PPAR.α ( Peroxisome proliferator-activated receptor α) و بنابراین متابولیسم لیپیدها دارند، در حالی که داروهایی مانند فنوفیرات که از طریق PPAR.α عمل می‌کنند، سطح تری‌گلیسریدها را کاهش می‌دهند ولی تأثیر کمتری بر متابولیسم قندها دارند. به‌همین جهت ساخت ترکیباتی که هم بر PPAR.γ و هم بر PPAR.α اثر بگذارند، و علاوه بر کاهش قند خون، پروفیل لیپیدی را نیز اصلاح کنند، مورد توجه قرار گرفته است (۲۸). مطالعه حاضر نیز بیانگر تأثیر همزمان عصاره مازو بر افزایش حساسیت به انسولین و کاهش غلظت تری‌گلیسرید خون است.

در مقاومت انسولینی، افزایش فعالیت لیپاز حساس به هورمون در بافت چربی، منجر به افزایش هیدرولیز تری-گلیسریدها و در نتیجه افزایش غلظت اسیدهای چرب آزاد پلاسمایی می‌شود. افزایش اسید چرب آزاد پلاسمایی یک شاخص مهم برای تشخیص مقاومت انسولینی محیطی و کبدی است. زیرا اسیدهای چرب آزاد می‌توانند پیام‌رسانی انسولین را مختل کنند. افزایش آزادسازی اسیدهای چرب و سیتوکین‌های پیش التهابی از بافت چربی باعث ایجاد مقاومت انسولینی در کبد و عضلات می‌شود. افزایش اسیدهای چرب آزاد و افزایش ورود آنها به کبد، باعث افزایش تولید VLDL و در نتیجه غلظت تری‌گلیسرید در این بیماران می‌شود (۲۹). افزایش تجمع اسیدهای چرب آزاد اشباع در آدیپوسیت‌ها منجر به سمیت لیپیدی و ایجاد حالت التهابی می‌شود که نه تنها حساسیت به انسولین را در آدیپوسیت‌ها، بلکه در سایر بافت‌ها نیز تحت تأثیر قرار می‌دهد. سمیت اسیدهای چرب اشباع از مهمترین مکانیسم‌های پاتوژنیک در چاقی و دیابت نوع ۲ محسوب می‌شوند (۳۰).

### منابع

1. Jia G, Demarco VG, Sowers JR, Drive OH. Insulin resistance and hyperinsulinaemia in diabetic cardiomyopathy. HHS Public Access. 2016;12(3):144–53.

مجله علمی دانشگاه علوم پزشکی کردستان / دوره بیست و شش / فروردین و اردیبهشت ۱۴۰۰

2. Ciaraldi TP. Molecular Mechanisms of Insulin Resistance: An Update Citlaly. *Gac Med Mex*. 2017;153(1):71–86.
3. Nicholson T, Church C, Baker DJ, Jones SW. The role of adipokines in skeletal muscle inflammation and insulin sensitivity. *J Inflamm (United Kingdom)*. 2018;15(1):1–11.
4. Xin Y, Wang Y, Chi J, Zhu X, Zhao H, Zhao S, et al. Elevated free fatty acid level is associated with insulin-resistant state in nondiabetic Chinese people. *Diabetes, Metab Syndr Obes Targets Ther*. 2019;12:139–47.
5. Kimura I, Ichimura A, Ohue-Kitano R, Igarashi M. Free Fatty Acid Receptors in Health and Disease. *Physiol Rev*. 2020;100(1):171–210.
6. Katsuhiko Naruse, Noguchi T, Sado T, Tsunemi T, Shigetom H, Kanayama S, et al. Chemokine and Free Fatty Acid Levels in Insulin-Resistant State of Successful Pregnancy: A Preliminary Observation. *Mediat Inflammatio*. 2012;2012(1):1–6.
7. Askari SF, Azadi A, Jahromi BN, Tansaz M, Nasiri AM, Mohagheghzadeh A, et al. A comprehensive review about *Quercus infectoria* G. Olivier gall. *Res J Pharmacogn*. 2020;7(1):67–75.
8. Gholamhoseinian A, H.Fallah, F.Sharififar. Anti-hyperglycemic Activity of Four Plants Extracts Effective against Alpha Glucosidase in Normal and Diabetic Rats. *J Kerman Univ Med Sci*. 2009;16(1):35–44.
9. Gholamhosseinian A, Fallah H, Sharififar F, Mirtajaddini M. the inhibitory effect of some iranian plants extracts on the alpha glucosidase. *Iran J Basic Med Sci*. 2008;11:1–9.
10. Shiha C-C, Linb C-H, Linc W-L, Wud J-B. *Momordica charantia* extract on insulin resistance and the skeletal muscle GLUT4 protein in fructose-fed rats. *J Ethnopharmacol*. 2009;123(1):82–90.
11. Kubota N, Terauchi Y, Kubota T, Kumagai H, Itoh S, Satoh H, et al. Pioglitazone Ameliorates Insulin Resistance and Diabetes by Both Adiponectin-dependent and -independent Pathways. *J Biol Chem*. 2006;281(13):8748–55.
12. Gholamhoseinian A, H.Fallah, F.Sharififar. Inhibitory effect of methanol extract of *Rosa damascena* Mill. flowerson a-glucosidase activity and postprandial hyperglycemia in normal and diabetic rats. *Phytomedicine*. 2009;16(1):935–41.
13. Kangani CO, Kelley DE, DeLanya JP. Newmethod for GC/FID and GC–C-IRMS analysis of plasma free fatty acid concentration and isotopic enrichment. *J Chromatogr B*. 2008;873(1):95–101.
14. Williamson G, Sheedy K. Effects of Polyphenols on Insulin Resistance. *Nutrients*. 2020;12(10):3135.
15. Governa P, Bains G, Borgonetti V, Cettolin G, Giachetti D, Magnano AR, et al. Phytotherapy in the management of diabetes: A review. *Molecules*. 2018;23(1):1–22.
16. Abolfathi A, Vahabzadeh Z, Mahmoodiaghdam N, Vahabzadeh D, Hakhamanesh M saeed. Effects of taurine and homocysteine on lipid profile and oxidative stress in fructose-fed rats. *Sci J Kurdistan Univ Med Sci*. 2017;22(3):49–59.
17. Hurst Y, Fukuda H. Effects of changes in eating speed on obesity in patients with diabetes: A secondary analysis of longitudinal health check-up data. *BMJ Open*. 2018;8(1):1–8.
18. Stanhope KL, Schwarz JM, Keim NL, Griffen SC, Bremer AA, Graham JL, et al. Consuming fructose-sweetened, not glucose- sweetened, beverages increases visceral adiposity and lipids and decreases insulin sensitivity in overweight/obese humans. *J Clin Invest*. 2009;119(5):1322–34.
19. Kojta I, Chacinska M, Błachnio-Zabielska A. Obesity, Bioactive Lipids, and Adipose

- Tissue Inflammation in Insulin Resistance. *Lancet*. 2020;12(1305):1–19.
20. Belkina AC, Denis GV. Obesity genes and insulin resistance. *Current Opinion in Endocrinology*. 2010; 17(5): 472–7.
21. Malin SK, Niemi N, Solomon TPJ, Haus JM, Kelly KR, Filion J, et al. Exercise training with weight loss and either a high- or low-glycemic index diet reduces metabolic syndrome severity in older adults. *Ann Nutr Metab*. 2012;61(2):135–41.
22. Saini R, Patil SM. Anti-Diabetic Activity Of Roots Of *Quercus Infectoria* Olivier In Alloxan Induced Diabetic Rats. *Int J Pharm Sci Res*. 2012;3(4):1318–21.
23. Sathya Bhama CV, Balaji S, Seethalakshmi A. Analysis of the degree of insulin resistance in post menopausal women by using skin temperature measurements and fasting insulin and fasting glucose levels: A case control study. *Journal of Clinical and Diagnostic Research*. 2012; 6(10): 1644–7.
24. Rifahiil N. *Tietz Textbook of Clinical Chemistry and Molecular Diagnosis*. Sixth ed. United States of America: Elsevier, 2018. 1160–1200.
25. Abdina AA, Baalash AA, Hamooda HE. Effects of rosiglitazone and aspirin on experimental model of induced type 2 diabetes in rats: focus on insulin resistance and inflammatory markers. *J Diabetes Complications*. 2010;24(1):168–78.
26. Ohnogi H, Hayami S, Kudo Y, Deguchi S, Mizutani S, Tatsuji Enoki, et al. *Angelica keiskei* Extract Improves Insulin Resistance and Hypertriglyceridemia in Rats Fed a High-Fructose Drink Hiromu. *Biosci Biotechnol Biochem*. 2012;76(5):928–32.
27. Gholamhoseinian A, Shahouzehi B, Joukar S. Effect of *Quercus infectoria* and *Rosa damascena* on Lipid Profile and Atherosclerotic Plaque Formation in Rabbit Model of Hyperlipidemia. *pakistan J Biol Sci*. 2012;15(1):27–33.
28. Botta M, Audano M, Sahebkar A, Sirtori CR, Mitro N, Ruscica M. PPAR agonists and metabolic syndrome: An established role? *Int J Mol Sci*. 2018;19(4):2–21.
29. Meshkani R, Adeli K. Hepatic insulin resistance, metabolic syndrome and cardiovascular disease. *Clin Biochem [Internet]*. 2009;42(13–14):1331–46.
30. Kennedy A, Martinez K, Chuang C-C, LaPoint K, McIntosh M. Saturated Fatty Acid-Mediated Inflammation and Insulin Resistance in Adipose Tissue: Mechanisms of Action and Implications. *J Nutr*. 2009;139(1):1–4.